

V. CORRECTED RESULT OF ALTIMETRIC SURVEYS OF ICE SHEET SURFACE MADE IN 1969 - 1975

Hiromu SHIMIZU*

Observers: Kunio OMOTO, Hiromu SHIMIZU, Aichiyo YOSHIMURA,
Renji NARUSE, Kotaro YOKOYAMA, and Masayuki INOUE

A series of altimetric surveys of ice sheet surface in the Mizuho Plateau-West Enderby Land area was carried out by a number of oversnow traverses during the period from 1969 to 1975 (Shimizu et al., 1972; Naruse and Yokoyama, 1975; Watanabe et al., 1976). Most of the surveys were conducted by means of barometric altimetry, while precise surveys were made along three limited routes by means of either traverse-survey or triangulation-chain, as shown in Figs. 1 and 2.

As the barometric method involves some problems in the accuracy of the results when applied to a vast field, especially in the presence of the polar cap anticyclone, the results of the altimetric survey conducted during the period described above were corrected in the following way:

- 1) The elevation of stations of Routes S, H and Z from Syowa Station to Mizuho Camp, measured by the traverse survey was taken as the base.
- 2) For a closed circuit track which was initiated and terminated at a station (junction station) on the base route (Routes S, H and Z), the error of closure of elevation at the junction station was uniformly distributed over the track subjected to the barometric method; as for the traverse-survey track, the previous result of an elevation difference between the neighboring stations was used. (Circuit tracks: S 30-S 70-S 122-H 184-S 30 along Routes S and H; Z 16-M 33-H 184-S 122-Z 16 along Routes M, H and Z; S 122-Mizuho Camp-S 169-S 122 along Routes Z, X and S; and Mizuho Camp-Y 200-Sandercock Nunataks-W 55-Mizuho Camp along Routes Y and W)
- 3) This way of correction was deductively applied to a circuit track which has no junction station on the base Routes S, H and Z. (Circuit tracks: S 169-S 240-Yamato Mountains-S 169 along Routes S, A, B and C; B 12-B 18-D 34-B 12 and B 18-B 37-D 10-B 18 along Routes B and D; B 18-N 10-B 12-B 18 along Routes N and B; and Y 20-Y 200-I 365-Y 20 along Routes Y, I and J)
- 4) For the open tracks I (I 365-I 600) and D (D 10-D 0), barometric results were simply superposed upon the corrected elevations of I 365 and B 40, respectively.

The elevation of stations thus corrected are given in Table 1.

* The Institute of Low Temperature Science, Hokkaido University, Sapporo 060.

References

- Naruse, R. and Yokoyama, K. (1975): Position, elevation and ice thickness of stations. JARE Data Rep., 28 (Glaciol.), 7 - 47.
- Shimizu, H., Naruse, R., Omoto, K. and Yoshimura, A. (1972): Position of stations, surface elevation and thickness of the ice sheet, and snow temperature at 10 m depth in the Mizuho Plateau-West Enderby Land area, East Antarctica, 1969 - 1971. JARE Data Rep., 17 (Glaciol.), 12 - 37.
- Watanabe, O., Satow, K. and Inoue, M. (1977): Positions and elevations of stations along the Highland Traverse and items of observation conducted there, 1974 - 1975. JARE Data Rep., 36 (Glaciol.), 7 - 13.

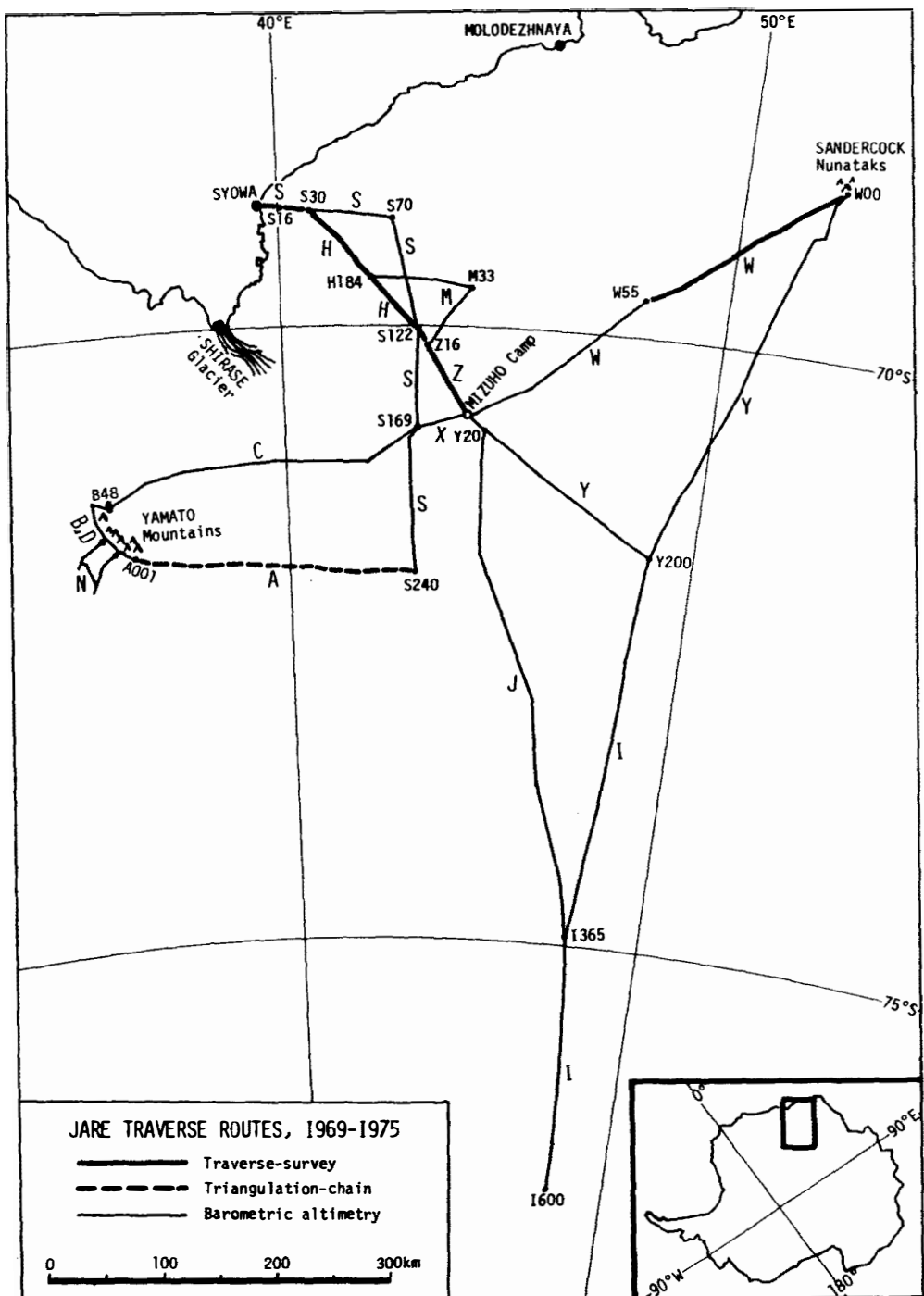


Fig. 1. JARE oversnow traverse routes in Mizuho Plateau-West Enderby Land, 1969 - 1975. Capital letter gives the name of the route.

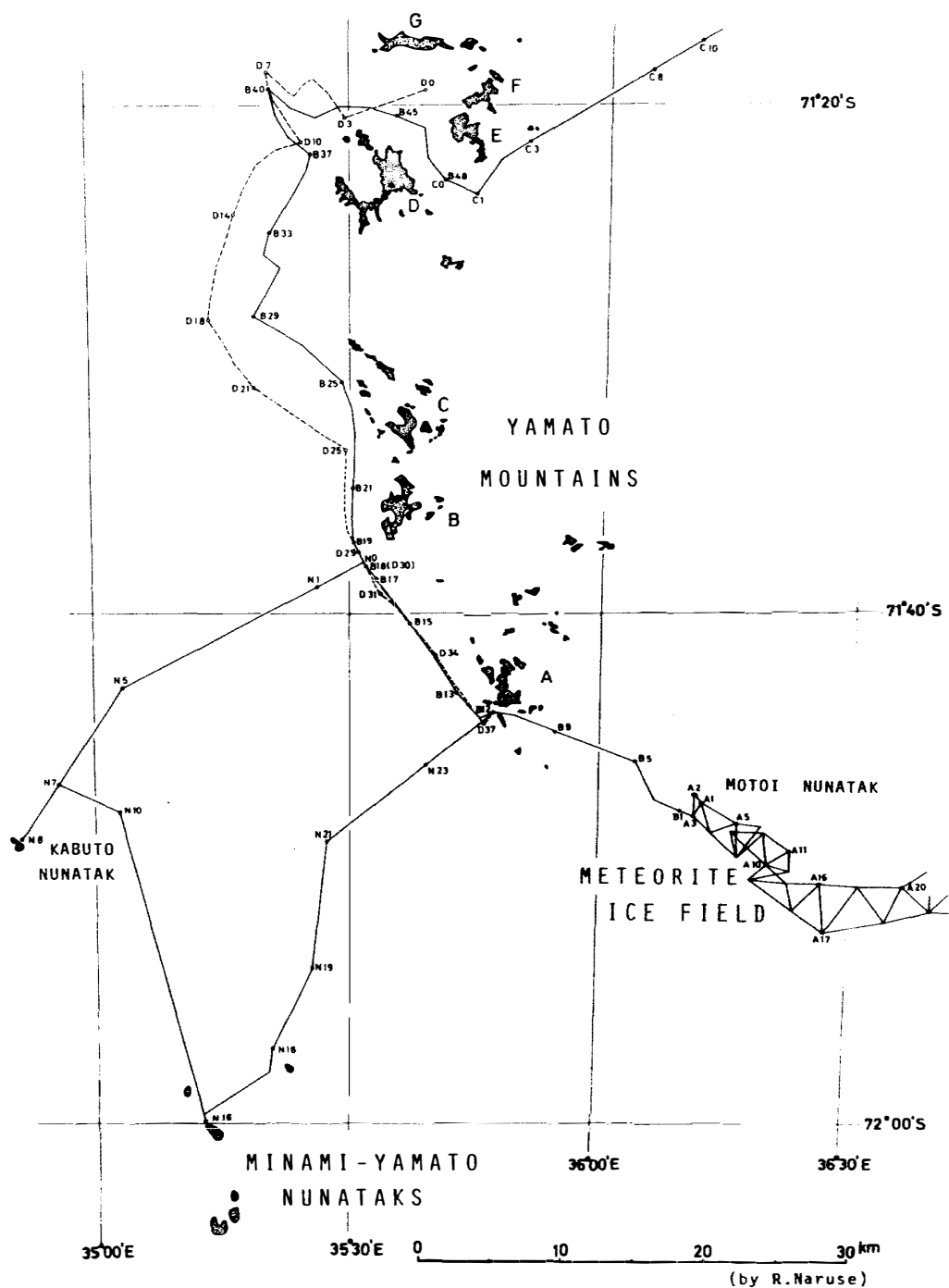


Fig. 2. JARE oversnow traverse routes in Yamato Mountains area, 1969 - 1970 and 1973 - 1974. Route A (a triangulation-chain) was set up in 1969, Routes B and C in 1970, and Routes D and N in 1973. Capital letters A ... G indicate the massif of the Yamato Mountains.

Table 1. Corrected elevation of stations in Mizuho Plateau- West Enderby Land, 1976.

* : A station of which elevation (specific elevation for Routes A and W) was surveyed by means of either traverse-survey or triangulation-chain.

Station	Surface elevation (m)	Station	Surface elevation (m)	Station	Surface elevation (m)	Station	Surface elevation (m)
* S 15 - 1	510	S 40	1,142	S 75	1,477	S 110	1,749
* 16	554	41	1,155	76	1,486	111	1,777
* 16 - 3	578	42	1,169	77	1,493	112	1,790
17	597	43	1,179	78	1,502	113	1,801
* 17 - 3	600	44	1,196	79	1,511	114	1,808
18	618	45	1,211	80	1,516	115	1,813
* 18 - 3	627	46	1,220	81	1,520	116	1,818
* 19	638	47	1,217	82	1,533	117	1,829
20	659	48	1,233	83	1,543	118	1,872
* 20 - 3	683	49	1,241	84	1,563	119	1,889
21	708	50	1,249	85	1,567	120	1,901
* 21 - 3	740	51	1,251	86	1,571	121	1,907
22	757	52	1,261	87	1,580	* 122	1,910
* 22 - 1	764	53	1,267	88	1,589	123	1,916
23	788	54	1,294	89	1,597	124	1,922
* 23 - 4	814	55	1,306	90	1,607	125	1,932
24	831	56	1,309	91	1,616	126	1,939
* 24 - 1	843	57	1,312	92	1,615	127	1,942
* 25	868	58	1,323	93	1,618	128	1,943
26	895	59	1,343	94	1,627	129	1,956
* 26 - 5	915	60	1,369	95	1,636	130	1,955
27	919	61	1,372	96	1,643	131	1,962
28	942	62	1,378	97	1,654	132	1,979
* 28 - 1	945	63	1,386	98	1,663	133	1,978
29	962	64	1,394	99	1,667	134	1,972
* 30	988	65	1,400	100	1,680	135	1,963
31	1,008	66	1,405	101	1,681	136	1,968
32	1,022	67	1,402	102	1,686	137	1,977
33	1,042	68	1,419	103	1,694	138	1,978
34	1,058	69	1,421	104	1,702	139	1,979
35	1,075	70	1,428	105	1,707	140	1,988
36	1,093	71	1,443	106	1,712	141	1,996
37	1,103	72	1,450	107	1,725	142	1,997
38	1,118	73	1,460	108	1,736	143	1,998
39	1,129	74	1,463	109	1,743	144	1,998

Station	Surface elevation (m)	Station	Surface elevation (m)	Station	Surface elevation (m)	Station	Surface elevation (m)
S 1 4 5	1,9 9 6	S 1 8 0	2,1 2 3	S 2 1 5	2,4 2 2	* A 0 1 8	2,4 2 5
1 4 6	2,0 0 3	1 8 1	2,1 3 3	2 1 6	2,4 2 5	* 0 2 0	2,4 3 6
1 4 7	2,0 0 7	1 8 2	2,1 4 8	2 1 7	2,4 3 6	* 0 2 2	2,4 2 3
1 4 8	2,0 0 4	1 8 3	2,1 8 1	2 1 8	2,4 4 9	* 0 2 3	2,4 3 0
1 4 9	2,0 0 5	1 8 4	2,1 8 7	2 1 9	2,4 5 1	* 0 2 5	2,4 2 5
1 5 0	2,0 2 2	1 8 5	2,1 6 2	2 2 0	2,4 5 8	* 0 2 7	2,4 2 4
1 5 1	2,0 2 5	1 8 6	2,1 9 8	2 2 1	2,4 7 0	* 0 2 9	2,4 4 3
1 5 2	2,0 2 9	1 8 7	2,2 0 6	2 2 2	2,4 8 1	* 0 3 1	2,4 5 8
1 5 3	2,0 3 0	1 8 8	2,2 0 7	2 2 3	2,4 9 1	* 0 3 3	2,4 5 7
1 5 4	2,0 3 7	1 8 9	2,2 2 1	2 2 4	2,5 0 1	* 0 3 5	2,4 6 9
1 5 5	2,0 4 3	1 9 0	2,2 2 8	2 2 5	2,5 1 0	* 0 3 7	2,4 7 4
1 5 6	2,0 4 8	1 9 1	2,2 3 1	2 2 6	2,5 1 6	* 0 3 9	2,4 6 7
1 5 7	2,0 5 2	1 9 2	2,2 4 3	2 2 7	2,5 2 1	* 0 4 1	2,4 5 9
1 5 8	2,0 5 5	1 9 3	2,2 5 5	2 2 8	2,5 3 3	* 0 4 3	2,4 5 2
1 5 9	2,0 5 6	1 9 4	2,2 5 9	2 2 9	2,5 4 2	* 0 4 5	2,4 4 6
1 6 0	2,0 5 8	1 9 5	2,2 5 6	2 3 0	2,5 5 4	* 0 4 7	2,4 5 7
1 6 1	2,0 6 2	1 9 6	2,2 6 5	2 3 1	2,5 5 9	* 0 4 9	2,4 6 0
1 6 2	2,0 6 9	1 9 7	2,2 8 8	2 3 2	2,5 6 3	* 0 5 1	2,4 6 2
1 6 3	2,0 7 4	1 9 8	2,2 9 9	2 3 3	2,5 7 0	* 0 5 3	2,4 5 7
1 6 4	2,0 8 2	1 9 9	2,3 0 5	2 3 4	2,5 7 6	* 0 5 5	2,4 5 3
1 6 5	2,0 8 3	2 0 0	2,3 0 9	2 3 5	2,5 8 2	* 0 5 7	2,4 4 7
1 6 6	2,0 6 9	2 0 1	2,3 0 8	2 3 6	2,5 9 8	* 0 5 9	2,4 4 0
1 6 7	2,0 7 4	2 0 2	2,3 0 9	2 3 7	2,6 1 5	* 0 6 1	2,4 4 5
1 6 8	2,0 7 3	2 0 3	2,3 2 2	2 3 8	2,6 2 2	* 0 6 3	2,4 3 5
1 6 9	2,0 8 3	2 0 4	2,3 4 2	2 3 9	2,6 2 8	* 0 6 5	2,4 3 2
1 7 0	2,0 8 2	2 0 5	2,3 5 1	* 2 4 0	2,6 3 9	* 0 6 7	2,4 5 2
1 7 1	2,0 7 4	2 0 6	2,3 5 8	* A 0 0 1	2,3 0 2	* 0 6 9	2,4 5 4
1 7 2	2,0 8 8	2 0 7	2,3 6 0	* 0 0 2	2,3 2 7	* 0 7 1	2,4 6 5
1 7 3	2,0 8 2	2 0 8	2,3 6 3	* 0 0 3	2,2 9 9	* 0 7 3	2,4 6 2
1 7 4	2,0 6 6	2 0 9	2,3 6 5	* 0 0 4	2,3 1 7	* 0 7 5	2,4 6 0
1 7 5	2,0 8 4	2 1 0	2,3 8 0	* 0 0 6	2,3 6 6	* 0 7 7	2,4 6 6
1 7 6	2,1 1 1	2 1 1	2,3 9 0	* 0 0 8	2,3 3 4	* 0 7 9	2,4 7 2
1 7 7	2,1 1 2	2 1 2	2,3 9 4	* 0 1 0	2,3 8 6	* 0 8 1	2,4 6 8
1 7 8	2,1 0 9	2 1 3	2,4 0 4	* 0 1 4	2,3 9 9	* 0 8 3	2,4 7 8
1 7 9	2,1 1 0	2 1 4	2,4 1 7	* 0 1 6	2,4 1 8	* 0 8 5	2,4 9 2

Station	Surface elevation (m)	Station	Surface elevation (m)	Station	Surface elevation (m)	Station	Surface elevation (m)
*A087	2,484	*A158	2,588	B32	1,742	C19	1,810
*089	2,475	*160	2,613	33	1,728	20	1,812
*091	2,474	*162	2,633	34	1,711	21	1,814
*093	2,465	*164(S240)	2,639	35	1,697	22	1,804
*095	2,501	B 1	2,290	36	1,683	23	1,807
*097	2,501	2	2,272	37	1,680	24	1,819
*099	2,511	3	2,265	38	1,691	25	1,830
*101	2,517	4	2,250	39	1,686	26	1,827
*103	2,521	5	2,230	40	1,689	27	1,834
*105	2,527	6	2,218	41	1,678	28	1,835
*107	2,529	7	2,204	42	1,695	29	1,835
*109	2,533	8	2,192	43	1,719	30	1,840
*111	2,547	9	2,191	44	1,719	31	1,846
*113	2,546	10	2,205	45	1,733	32	1,846
*115	2,555	11	2,170	46	1,753	33	1,847
*117	2,559	12	2,039	47	1,791	34	1,845
*119	2,552	13	1,981	48(C0)	1,848	35	1,849
*121	2,578	14	1,966	C 1	1,861	36	1,851
*123	2,577	15	1,936	2	1,880	37	1,853
*125	2,581	16	1,925	3	1,896	38	1,854
*127	2,583	17	1,905	4	1,876	39	1,856
*129	2,569	18	1,895	5	1,856	40	1,861
*131	2,568	19	1,867	6	1,844	41	1,863
*133	2,562	20	1,848	7	1,842	42	1,859
*135	2,557	21	1,841	8	1,838	43	1,856
*137	2,557	22	1,813	9	1,827	44	1,855
*139	2,551	23	1,798	10	1,816	45	1,847
*141	2,548	24	1,788	11	1,812	46	1,841
*143	2,539	25	1,772	12	1,805	47	1,847
*145	2,575	26	1,761	13	1,802	48	1,841
*147	2,584	27	1,753	14	1,806	49	1,840
*149	2,590	28	1,752	15	1,811	50	1,844
*151	2,583	29	1,753	16	1,807	51	1,834
*153	2,581	30	1,766	17	1,807	52	1,816
*156	2,592	31	1,748	18	1,816	53	1,805

Station	Surface elevation (m)						
C 5 4	1,8 1 1	C 8 9	1,8 5 4	C 1 2 4	2,0 3 0	D 8	1,6 9 2
5 5	1,8 0 5	9 0	1,8 5 0	1 2 5	2,0 1 6	9	1,6 8 8
5 6	1,7 9 3	9 1	1,8 5 3	1 2 6	2,0 0 6	1 0	1,6 8 5
5 7	1,7 7 8	9 2	1,8 4 9	1 2 7	2,0 1 1	1 1	1,6 8 2
5 8	1,7 7 3	9 3	1,8 3 5	1 2 8	2,0 1 3	1 2	1,6 8 4
5 9	1,7 6 9	9 4	1,8 4 2	1 2 9	2,0 1 4	1 3	1,7 0 4
6 0	1,7 7 7	9 5	1,8 4 4	1 3 0	2,0 2 6	1 4	1,7 2 0
6 1	1,7 9 2	9 6	1,8 3 8	1 3 1	2,0 3 3	1 5	1,7 2 8
6 2	1,7 9 7	9 7	1,8 5 7	1 3 2	2,0 4 2	1 6	1,7 4 8
6 3	1,7 9 6	9 8	1,8 7 2	1 3 3	2,0 5 2	1 7	1,7 5 8
6 4	1,7 8 9	9 9	1,8 8 6	1 3 4	2,0 5 1	1 8	1,7 6 0
6 5	1,7 8 5	1 0 0	1,8 7 1	1 3 5	2,0 4 6	1 9	1,7 6 2
6 6	1,7 8 9	1 0 1	1,8 7 5	1 3 6	2,0 4 1	2 0	1,7 7 4
6 7	1,7 8 8	1 0 2	1,8 7 5	1 3 7	2,0 3 6	2 1	1,7 7 7
6 8	1,7 6 7	1 0 3	1,8 8 6	1 3 8	2,0 4 2	2 2	1,7 7 6
6 9	1,7 9 1	1 0 4	1,8 8 5	1 3 9	2,0 4 8	2 3	1,7 8 4
7 0	1,7 9 5	1 0 5	1,8 8 4	1 4 0	2,0 5 0	2 4	1,7 8 6
7 1	1,7 6 1	1 0 6	1,9 0 1	1 4 1	2,0 5 4	2 5	1,8 0 4
7 2	1,7 8 1	1 0 7	1,9 0 4	1 4 2	2,0 6 0	2 6	1,8 1 8
7 3	1,7 8 2	1 0 8	1,9 0 8	1 4 3	2,0 6 4	2 7	1,8 3 2
7 4	1,7 8 1	1 0 9	1,9 2 3	1 4 4	2,0 7 3	2 8	1,8 4 8
7 5	1,7 9 7	1 1 0	1,9 3 7	1 4 5	2,0 7 9	2 9	1,8 7 4
7 6	1,8 0 1	1 1 1	1,9 3 8	1 4 6	2,0 7 7	30(B18)	1,8 9 5
7 7	1,7 9 9	1 1 2	1,9 3 7	1 4 7	2,0 8 8	3 1	1,9 1 7
7 8	1,8 0 5	1 1 3	1,9 6 5	1 4 8	2,1 0 2	3 2	1,9 2 9
7 9	1,8 2 0	1 1 4	1,9 8 2	1 4 9	2,0 9 2	3 3	1,9 4 2
8 0	1,8 1 5	1 1 5	1,9 7 8	S 1 7 0	2,0 8 2	3 4	1,9 6 6
8 1	1,8 1 5	1 1 6	1,9 6 7	D 0	1,7 2 6	3 5	1,9 6 8
8 2	1,8 2 3	1 1 7	1,9 5 2	1	1,7 3 9	3 6	2,0 0 8
8 3	1,8 2 8	1 1 8	1,9 8 5	2	1,7 3 0	3 7	2,0 5 4
8 4	1,8 4 1	1 1 9	2,0 1 7	3	1,7 1 9	38(B12)	2,0 3 9
8 5	1,8 4 2	1 2 0	2,0 3 2	4	1,6 9 2	*S 3 0	9 8 8
8 6	1,8 4 7	1 2 1	2,0 3 9	5	1,6 9 2	H 0	9 9 0
8 7	1,8 6 5	1 2 2	2,0 3 9	6	1,6 9 9	* 6 - 1	1,0 2 1
8 8	1,8 6 5	1 2 3	2,0 4 1	7	1,6 9 0	1 2	1,0 2 2

Station	Surface elevation (m)						
*H 17	1,035	H134	1,387	H216	1,625	H294	1,873
* 20-1	1,050	136	1,392	* 219	1,630	* 295-1	1,881
* 27	1,071	* 137	1,396	222	1,641	298	1,883
* 34-1	1,090	140	1,408	* 225	1,649	* 302	1,896
39	1,096	* 143	1,416	226	1,655	304	1,898
* 45	1,124	146	1,425	230	1,659	*S122	1,910
* 48-1	1,133	* 148-1	1,441	* 231	1,667	Y200	2,880
54	1,143	150	1,440	234	1,670	I 10	2,890
* 59	1,145	* 155	1,465	* 237	1,684	20	2,907
62	1,168	156	1,468	238	1,687	30	2,917
* 65	1,162	* 159	1,488	240	1,692	40	2,934
68	1,176	160	1,486	* 243	1,696	50	2,943
* 70	1,186	164	1,483	* 245-1	1,715	60	2,968
72	1,187	* 166	1,492	250	1,732	70	2,977
* 74-1	1,207	168	1,487	* 251-1	1,736	80	3,000
* 77	1,217	172	1,508	* 253	1,739	90	3,009
80	1,224	* 174	1,524	254	1,740	100	3,026
* 83	1,243	176	1,529	* 256	1,742	110	3,040
* 84	1,247	* 178	1,536	258	1,742	120	3,058
86	1,245	180	1,540	260	1,748	130	3,086
* 89	1,256	182	1,546	* 262	1,759	140	3,105
* 93	1,270	* 184	1,546	264	1,759	150	3,121
* 97-1	1,280	186	1,556	* 266	1,769	160	3,134
100	1,298	* 189	1,556	268	1,769	170	3,162
* 101-1	1,309	192	1,562	270	1,780	180	3,166
* 104-1	1,322	* 194	1,560	* 272	1,789	190	3,166
106	1,321	196	1,571	274	1,798	200	3,176
110	1,318	* 198	1,572	* 275-1	1,804	210	3,184
* 113-1	1,339	200	1,586	278	1,806	220	3,174
* 114-1	1,344	* 201	1,586	280	1,811	230	3,197
116	1,341	204	1,596	* 283	1,827	240	3,203
120	1,360	* 207	1,602	286	1,840	250	3,211
* 124	1,373	209	1,607	* 289	1,857	260	3,219
* 127	1,378	212	1,615	290	1,865	270	3,222
* 131-1	1,385	* 213	1,617	* 291-1	1,869	280	3,240

Station	Surface elevation (m)	Station	Surface elevation (m)	Station	Surface elevation (m)	Station	Surface elevation (m)
1 2 9 0	3,2 4 6	J 1 1 0	3,2 2 9	J 4 2 0	2,4 8 4	M 2 8	2,1 0 3
3 0 0	3,2 6 6	1 2 0	3,2 1 3	4 3 0	2,4 5 5	2 9	2,1 2 5
3 1 0	3,2 7 1	1 4 0	3,1 8 6	4 4 0	2,4 3 1	3 0	2,1 5 1
3 2 0	3,2 8 4	1 4 5	3,1 7 9	4 5 0	2,3 8 6	Peak A	2,1 6 8
3 3 0	3,2 8 4	1 5 0	3,1 7 6	4 6 0	2,3 7 5	3 1	2,1 5 2
3 4 0	3,2 9 0	1 6 0	3,1 5 5	4 8 0	2,3 4 8	3 2	2,1 5 4
3 5 0	3,2 9 9	1 7 0	3,1 5 1	482 (Y20)	2,3 3 3	3 3	2,1 4 3
3 6 0	3,3 0 8	1 8 0	3,1 4 0	Z 1 6	1,9 8 8	3 4	2,1 0 3
3 7 0	3,3 1 2	1 9 0	3,1 2 6	M 1	1,9 9 2	3 5	2,0 7 5
3 8 0	3,3 2 2	2 0 0	3,1 0 7	2	1,9 9 7	3 6	2,0 7 1
3 9 0	3,3 2 8	2 1 0	3,0 8 5	3	2,0 0 4	3 7	2,0 6 6
3 0 0	3,3 2 9	2 2 0	3,0 4 1	4	2,0 1 0	Peak B	2,1 0 0
4 1 0	3,3 3 3	2 2 5	3,0 3 9	5	2,0 2 1	3 8	2,0 4 9
4 2 0	3,3 5 5	2 3 0	3,0 3 4	6	2,0 2 8	3 9	2,0 2 2
4 3 0	3,3 6 2	2 4 0	2,9 8 7	7	2,0 4 3	4 0	2,0 1 5
4 4 0	3,3 6 9	2 5 0	2,9 6 2	8	2,0 3 9	4 1	2,0 2 6
4 5 0	3,3 6 2	2 6 0	2,9 0 4	9	2,0 4 5	4 2	2,0 3 2
4 6 0	3,3 6 9	2 7 0	2,8 8 6	1 0	2,0 5 0	4 3	2,0 3 0
4 7 0	3,3 6 5	2 7 5	2,8 6 7	1 1	2,0 5 8	4 4	2,0 8 5
4 8 0	3,3 8 0	2 8 0	2,8 5 6	1 2	2,0 6 0	4 5	2,0 1 7
5 0 0	3,3 8 5	2 9 0	2,8 4 9	1 3	2,0 5 5	4 6	1,9 9 9
5 3 0	3,4 0 3	3 0 0	2,7 9 8	1 4	2,0 6 2	4 7	1,9 6 7
5 4 0	3,4 0 4	3 1 0	2,7 9 7	1 5	2,0 6 6	4 8	1,9 3 7
5 7 0	3,4 0 6	3 1 8	2,7 9 9	1 6	2,0 7 0	4 9	1,9 0 1
6 0 0	3,4 0 8	3 2 0	2,7 8 3	1 7	2,0 8 7	5 0	1,8 9 3
J0(I365)	3,3 0 9	3 3 0	2,7 4 1	1 8	2,0 9 9	5 1	1,8 6 6
1 0	3,3 0 7	3 4 0	2,6 9 7	1 9	2,1 1 0	5 2	1,8 2 5
2 0	3,3 0 5	3 5 0	2,6 6 7	2 0	2,1 1 7	5 3	1,8 2 5
3 0	3,3 0 4	3 6 0	2,6 3 7	2 1	2,1 1 8	5 4	1,7 8 7
4 0	3,3 0 2	3 6 4	2,6 1 3	2 2	2,1 2 7	5 5	1,7 8 4
5 0	3,2 9 9	3 7 0	2,6 0 3	2 3	2,1 2 2	5 6	1,7 8 0
6 0	3,2 9 0	3 8 0	2,5 6 5	2 4	2,1 2 4	5 7	1,7 6 5
7 0	3,2 7 9	3 9 0	2,5 5 1	2 5	2,1 1 9	5 8	1,7 5 1
9 5	3,2 5 3	4 0 0	2,5 2 3	2 6	2,1 1 5	5 9	1,7 3 1
1 0 0	3,2 4 5	4 0 8	2,5 0 4	2 7	2,1 0 9	6 0	1,7 3 7

Station	Surface elevation (m)	Station	Surface elevation (m)	Station	Surface elevation (m)	Station	Surface elevation (m)
M 6 1	1,7 3 9	N 1 6	2,1 3 4	*W 2 7	1,9 3 8	W 2 3 5	2,3 3 8
6 2	1,7 4 0	1 7	2,1 1 6	* 2 8	1,9 3 2	2 4 0	2,3 4 6
6 3	1,7 1 3	1 8	2,1 0 6	* 2 9	1,9 1 7	2 4 5	2,3 5 9
6 4	1,7 0 5	1 9	2,0 9 0	* 3 0	1,9 0 8	2 5 0	2,3 7 3
6 5	1,7 0 0	2 1	2,0 7 0	* 3 1	1,9 1 9	2 5 5	2,3 7 7
6 6	1,6 9 6	2 2	2,0 6 0	* 3 2	1,9 2 0	2 6 0	2,3 9 9
6 7	1,6 7 2	2 3	2,0 4 3	* 3 3	1,9 1 2	2 6 5	2,4 0 3
6 8	1,6 5 0	24(B12)	2,0 3 9	* 3 4	1,9 2 5	2 7 0	2,4 0 0
6 9	1,6 3 5	*W 0 Sandercock Nunatak	2,1 6 2	* 3 5	1,9 3 3	2 7 5	2,4 0 1
7 0	1,6 1 3	* 1	2,1 2 2	* 3 6	1,9 3 3	2 8 0	2,4 0 5
7 1	1,6 1 3	* 2	2,1 2 9	* 3 7	1,9 2 9	2 8 5	2,4 0 3
7 2	1,6 0 0	* 3	2,1 2 2	* 3 8	1,9 2 5	2 9 0	2,3 9 8
7 3	1,5 9 1	* 4	2,1 2 8	* 3 9	1,8 9 6	2 9 5	2,3 9 1
7 4	1,5 8 9	* 5	2,1 2 5	* 4 0	1,9 0 1	3 0 0	2,3 8 3
7 5	1,5 8 2	* 6	2,1 2 4	* 4 1	1,8 9 4	3 0 5	2,3 7 4
7 6	1,5 7 8	* 7	2,1 1 2	* 4 2	1,9 4 8	3 1 0	2,3 6 2
7 7	1,5 7 1	* 8	2,1 0 6	* 4 3	1,9 4 6	3 1 5	2,3 4 9
7 8	1,5 5 5	* 9	2,0 9 3	* 4 4	1,9 4 1	3 2 0	2,3 5 2
7 9	1,5 5 7	* 10	2,0 8 0	* 4 5	1,9 4 0	3 2 5	2,3 5 2
*H184	1,5 4 6	* 11	2,0 7 2	* 4 6	1,9 5 8	3 3 0	2,3 4 8
B 1 8	1,8 9 5	* 1 2	2,0 4 3	* 4 7	2,0 2 0	3 3 5	2,3 4 9
N 0	1,8 8 4	* 1 3	2,0 2 3	* 4 8	2,0 2 8	3 4 0	2,3 3 9
2	1,8 8 2	* 1 4	2,0 2 0	* 4 9	2,0 2 8	3 4 5	2,3 2 6
3	1,8 8 0	* 1 5	2,0 1 0	* 5 0	2,0 6 0	3 5 0	2,3 1 3
4	1,8 9 2	* 1 6	1,9 9 3	* 5 1	2,0 8 0	3 5 5	2,3 0 7
5	1,9 0 6	* 1 7	2,0 0 0	* 5 2	2,1 2 1	3 6 0	2,2 8 4
6	1,8 9 0	* 1 8	1,9 9 7	* 5 3	2,1 4 2	3 6 5	2,2 8 2
7	1,9 1 0	* 1 9	2,0 0 4	* 5 4	2,1 4 4	3 7 0	2,2 7 0
8	1,9 1 7	* 2 0	1,9 6 8	*55(W 200)	2,1 6 8	3 7 5	2,2 6 0
10	1,9 5 8	* 2 1	1,9 6 7	205	2,1 8 9	*Mizuho	2,2 3 0
11	1,9 8 2	* 2 2	1,9 7 0	210	2,2 5 3	*Mizuho	2,2 3 0
12	2,0 2 4	* 2 3	1,9 5 1	215	2,2 7 2	X 1	2,2 0 3
13	2,0 4 4	* 2 4	1,9 4 6	220	2,3 0 9	2	2,1 9 7
14	2,0 6 2	* 2 5	1,9 4 4	225	2,3 1 6	4	2,1 7 6
15	2,0 9 1	* 2 6	1,9 4 2	230	2,3 1 5	6	2,1 6 9

Station	Surface elevation (m)	Station	Surface elevation (m)	Station	Surface elevation (m)	Station	Surface elevation (m)
X 8	2,1 5 5	Y 1 4 0	2,7 1 6	Y 3 1 5	2,6 6 2	Y 4 9 0	2,1 7 9
1 0	2,1 5 1	1 4 5	2,7 3 6	3 2 0	2,6 6 5	4 9 5	2,1 8 0
1 2	2,1 4 2	1 5 0	2,7 5 4	3 2 5	2,6 5 2	5 0 0	2,1 8 7
1 4	2,1 2 3	1 5 5	2,7 6 3	3 3 0	2,6 4 6	5 0 5	2,1 8 7
1 6	2,1 1 5	1 6 0	2,7 6 8	3 3 5	2,6 3 8	5 1 0	2,1 6 9
1 8	2,1 0 4	1 6 5	2,7 8 0	3 4 0	2,6 2 9	5 1 5	2,1 5 2
S 16 9	2,0 8 3	1 7 0	2,7 8 1	3 4 5	2,6 1 6	5 2 0	2,1 5 3
*Mizuho	2,2 3 0	1 7 5	2,8 3 0	3 5 0	2,6 0 2	5 2 5	2,1 6 8
Y 5	2,2 6 3	1 8 0	2,8 3 8	3 5 5	2,5 9 3	5 3 0	2,1 7 9
1 0	2,2 8 8	1 8 5	2,8 3 9	3 6 0	2,5 8 8	5 3 5	2,1 6 7
1 5	2,3 1 0	1 9 0	2,8 7 0	3 6 5	2,5 7 5	5 4 0	2,1 5 8
2 0	2,3 3 3	1 9 5	2,8 7 6	3 7 0	2,5 6 4	5 4 5	2,1 6 0
2 5	2,3 4 7	2 0 0	2,8 8 0	3 7 5	2,5 5 2	5 5 0	2,1 5 6
3 0	2,3 7 5	2 0 5	2,8 7 4	3 8 0	2,5 3 6	5 5 5	2,1 4 7
3 5	2,4 0 3	2 1 0	2,8 6 8	3 8 5	2,5 2 1	5 6 0	2,1 3 5
4 0	2,4 2 0	2 1 5	2,8 5 5	3 9 0	2,4 9 4	5 6 5	2,1 2 2
4 5	2,4 3 3	2 2 0	2,8 5 3	3 9 5	2,4 7 7	5 7 0	2,1 1 8
5 0	2,4 5 6	2 2 5	2,8 4 6	4 0 0	2,4 6 0	5 7 3	2,1 1 3
5 5	2,4 7 7	2 3 0	2,8 3 5	4 0 5	2,4 4 9	Sandercock Camp	2,1 1 7
6 0	2,4 9 9	2 3 5	2,8 2 5	4 1 0	2,4 2 7	* S 1 2 2	1,9 1 0
6 5	2,5 0 5	2 4 0	2,8 2 0	4 1 5	2,4 1 7	Z 1	1,9 1 9
7 0	2,5 2 4	2 4 5	2,8 0 7	4 2 0	2,4 0 5	* 2	1,9 2 6
7 5	2,5 3 9	2 5 0	2,7 9 4	4 2 5	2,3 9 6	3	1,9 3 6
8 0	2,5 5 1	2 5 5	2,7 8 1	4 3 0	2,3 8 3	4	1,9 4 6
8 5	2,5 7 2	2 6 0	2,7 6 0	4 3 5	2,3 7 8	* 4-1	1,9 5 3
9 0	2,5 8 4	2 6 5	2,7 4 0	4 4 0	2,3 6 7	5	1,9 5 4
9 5	2,5 9 6	2 7 0	2,7 3 7	4 4 5	2,3 5 4	6	1,9 6 2
1 0 0	2,6 0 6	2 7 5	2,7 3 3	4 5 0	2,3 3 2	* 6-1	1,9 6 6
1 0 5	2,6 2 3	2 8 0	2,7 2 7	4 5 5	2,2 9 7	7	1,9 6 4
1 1 0	2,6 4 0	2 8 5	2,7 0 9	4 6 0	2,2 8 0	* 8	1,9 7 1
1 1 5	2,6 5 0	2 9 0	2,6 9 6	4 6 5	2,2 6 9	9	1,9 7 1
1 2 0	2,6 6 4	2 9 5	2,7 0 4	4 7 0	2,2 6 5	1 0	1,9 7 3
1 2 5	2,6 7 0	3 0 0	2,6 9 0	4 7 5	2,2 4 2	1 1	1,9 7 8
1 3 0	2,6 8 3	3 0 5	2,6 7 7	4 8 0	2,2 5 2	* 1 1-1	1,9 8 4
1 3 5	2,7 0 5	3 1 0	2,6 8 1	4 8 5	2,2 2 9	1 2	1,9 8 3

Station	Surface elevation (m)	Station	Surface elevation (m)	Station	Surface elevation (m)	Station	Surface elevation (m)
Z 1 3	1,9 8 1	Z 4 3	2,0 7 9	Z 7 4	2,1 6 3	* Mizuho	2,2 3 0
1 4	1,9 8 1	4 4	2,0 8 2	* 7 5	2,1 5 9		
1 5	1,9 8 3	4 5	2,0 8 6	7 6	2,1 5 9		
* 1 5 - 1	1,9 8 4	4 6	2,0 8 7	7 7	2,1 5 9		
1 6	1,9 8 8	* 4 6 - 1	2,1 0 7	7 8	2,1 6 0		
1 7	1,9 9 6	4 7	2,0 9 0	7 9	2,1 6 1		
1 8	2,0 0 6	4 8	2,0 8 7	* 7 9 - 2	2,1 6 6		
* 1 9	2,0 1 0	4 9	2,0 8 6	8 0	2,1 6 1		
2 0	2,0 1 3	5 0	2,0 8 5	8 1	2,1 6 2		
2 1	2,0 1 4	5 1	2,0 8 4	* 8 1 - 2	2,1 6 7		
2 2	2,0 1 6	5 2	2,0 8 4	8 2	2,1 6 1		
* 2 2 - 1	2,0 1 1	5 3	2,0 8 1	8 3	2,1 6 1		
2 3	2,0 2 0	* 5 3 - 1	2,1 0 4	8 4	2,1 6 1		
2 4	2,0 2 6	5 4	2,0 8 5	* 8 5	2,1 6 1		
2 5	2,0 3 1	5 5	2,0 8 6	8 6	2,1 6 3		
* 2 6	2,0 3 6	5 6	2,0 8 7	8 7	2,1 6 5		
2 7	2,0 4 1	5 7	2,0 9 0	8 8	2,1 6 9		
2 8	2,0 4 8	5 8	2,0 9 3	* 8 8 - 1	2,1 7 1		
* 2 9	2,0 5 2	5 9	2,0 9 7	8 9	2,1 7 2		
3 0	2,0 5 6	6 0	2,1 0 0	* 9 0	2,1 7 6		
* 3 1	2,0 5 9	* 6 0 - 1	2,1 1 8	9 1	2,1 7 9		
3 2	2,0 6 2	6 1	2,1 0 3	* 9 2	2,1 8 1		
* 3 3	2,0 6 4	6 2	2,1 0 7	9 3	2,1 8 3		
3 4	2,0 6 8	6 3	2,1 1 0	* 9 4	2,1 8 6		
* 3 5	2,0 7 0	6 4	2,1 1 5	9 5	2,1 8 8		
3 6	2,0 7 6	6 5	2,1 1 9	9 6	2,1 9 2		
* 3 7	2,0 7 4	* 6 6	2,1 3 3	9 7	2,1 9 5		
3 8	2,0 8 0	6 7	2,1 3 5	* 9 7 - 2	2,2 0 1		
* 3 8 - 1	2,0 8 9	6 8	2,1 3 6	9 8	2,1 9 9		
3 9	2,0 8 4	6 9	2,1 3 7	9 9	2,1 9 8		
* 3 9 - 1	2,0 9 5	* 7 0	2,1 3 9	1 0 0	2,1 9 9		
4 0	2,0 8 3	7 1	2,1 4 3	* 1 0 1	2,2 0 2		
4 1	2,0 8 0	7 2	2,1 4 6	1 0 2	2,2 0 8		
4 2	2,0 7 9	7 3	2,1 5 0	1 0 3	2,2 1 6		
* 4 2 - 1	2,0 9 7	* 7 3 - 1	2,1 5 7	1 0 4	2,2 2 6		

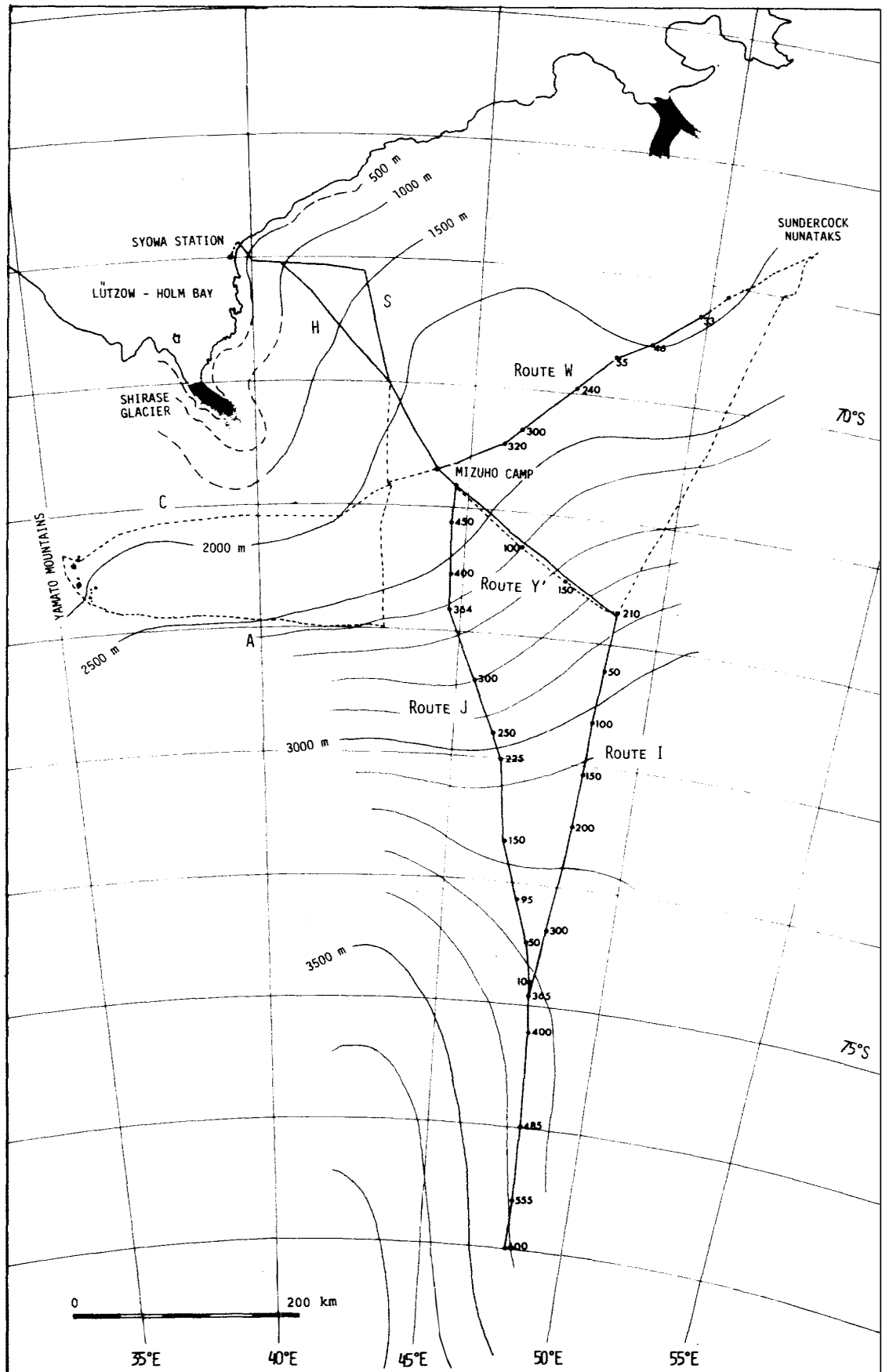


Fig. A. A map of the routes of the oversnow traverses by JARE-15 in Mizuho Plateau-West Enderby Land area, 1974-1975. Thick lines by JARE-15.